

مرواری بر نقش مهاجرت یونی در رفتارهای غیرمعمول سلول‌های خورشیدی پروسکایتی

فیروزه عبادی^۱، راحله محمدپور^{۲*}، نیما تقی نیا^۳

^۱پژوهشکده علوم و فناوری نانو، دانشگاه صنعتی شریف، تهران

^۳دانشکده فیزیک، دانشگاه صنعتی شریف، تهران

چکیده

در سال‌های اخیر، سلول‌های خورشیدی پروسکایتی به دلیل روش ساخت و تولید کم هزینه و همچنین، رشد سریع بازدهی مورد توجه بسیاری از پژوهشگران در این زمینه، قرار گرفته است. بزرگترین چالشی که در مقابل تجاری شدن این سلول‌ها وجود دارد مسئله‌ی عدم پایداری مشخصه‌های مهم فوتولوئائیکی آنها در شرایط واقعی است. عوامل متعددی در تخریب این سلول‌ها با گذشت زمان و همچنین، تحت شرایط متفاوت گزارش شده است. با این حال یکی از مهمترین این عوامل، مهاجرت یونی در لایه‌ی فعال این سلول‌ها است که با گذشت زمان منجر به تغییرات غیرعادی در کارکرد افزاره‌ها و مواد پروسکایتی می‌شود. در این مقاله مرواری، ما به بررسی نقش مهاجرت یونی در بروز برخی رفتارهای غیرمعمول در سلول‌های خورشیدی پروسکایتی می‌پردازیم.

واژه‌های کلیدی: سلول‌های خورشیدی پروسکایت، مهاجرت یونی، هیسترزیس، تکیک فازی

ایمیل نویسنده مسئول:
Taghavinia@sharif.edu
mohammadpour@sharif.edu

۱- مقدمه

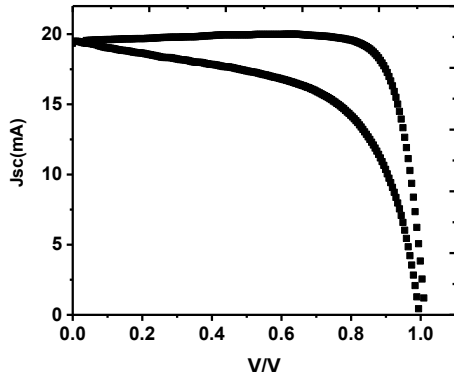
رشد سریع افزایش بازدهی سلول‌های خورشیدی پروسکایتی [۱] به همراه سایر مزایای آنها مانند هزینه‌ی ساخت و مواد پایین و روش ساخت آسان [۲] از دلایل مهم توجه فراینده‌ی گروههای پژوهشی به این نوع از فناوری فوتولوئائیک است. استفاده از پیش‌ماده‌های محلول برای لایه‌نشانی پروسکایت یکی از مهمترین مزیت این سلول‌هاست که ساخت آنها را آسان‌تر و ارزان‌تر می‌کند. نکته‌ای که به آن باید توجه داشت این است که: هر چند فرایند ساخت از محلول، یک مزیت به شمار می‌رود؛ در عین حال عامل مهمی برای تشکیل نقص در ساختار کریستالی این مواد است [۳]. شاید بتوان گفت که بازده خیره‌کننده‌ی این سلول‌ها نشان می‌دهد که این نقص‌ها در کارکرد افزاره تاثیر بسزایی ندارند؛ ولی اهمیت وجود این نقص‌ها در ساختار پروسکایت با گذشت زمان و با فرایند پیرسازی افزاره آشکار می‌شود. این نقص‌ها بنا به دلایل متفاوت با گذشت زمان در داخل ماده، مهاجرت و در برخی مناطق از جمله سطوح مشترک پروسکایت با لایه‌های انتقال دهنده‌ی الکترون و حفره، تجمع می‌کنند [۴-۶]. پیده‌ی مهاجرت نقص‌ها در حالت نقص‌های باردار

۲- مهاجرت یونی در پروسکایت

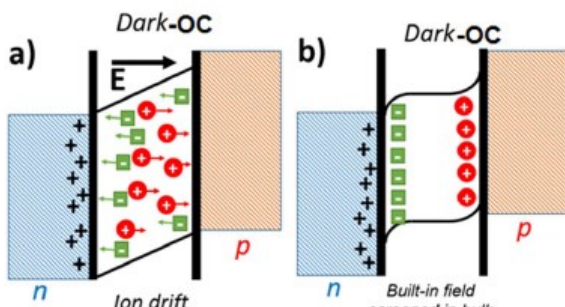
مهاجرت یونی یک پدیده‌ی به‌طور کامل شناخته شده در مواد پروسکایتی است. مهاجرت یونی در افزارهای پروسکایتی می‌تواند ناشی از مهاجرت یون‌های موجود در ساختار کریستالی پروسکایت و یا ناشی از ناخالصی‌های موجود در پیش‌ماده‌ها باشند که با توجه به مقدار انرژی موردنیاز برای فعالسازی هر یک از این یون‌ها، مهاجرت یک یا چند گونه یون می‌تواند غالب باشد. همچنین، از عوامل موثر در انرژی فعالسازی یون‌ها می‌توان به ساختار کریستالی، شعاع یونی، بار یونها و مقدار تراکم و نوع نقص‌های موجود در ساختار

می‌دهد که در نتیجه‌ی این اثر پوششی، استخراج بار در لایه‌ی پروسکایت تحت تاثیر قرار می‌گیرد و در نتیجه، جریان نوری وابسته به جهت اسکن ولتاژ می‌شود [۱۹].

شکل ۲ طرحواره‌ی ساده‌ای برای توضیح چگونگی حرکت یونها به سمت سطوح مشترک به دلیل تفاوت در تابع کار و اصلاح و یا پوشش دهنده میدان الکتریکی در داخل لایه‌ی پروسکایت است.



شکل ۱. هیسترزیس در نمودار جریان-ولتاژ یک سلول خورشیدی پروسکایت.



شکل ۲. (a) دیاگرام انرژی لایه‌ی پروسکایت. تحت تاثیر پتانسیل ناشی از تفاوت در تابع کار لایه‌ی انتقال دهنده‌ی الکترون و حفره یونها شروع به حرکت به سمت سطوح مشترک می‌کند. (b.) یونها تحت این میدان رانده شده و سامانه به حالت تعادل می‌رسد و پوشش میدان الکتریکی در لایه‌ی پروسکایت اتفاق می‌افتد [۲۰].

۲-۳- ظرفیت خازنی منفی

اسپکتروسکوپی امپداس الکتروشیمیایی یکی از روش‌های قدرتمند برای شناسایی سلول‌های خورشیدی به شمار می‌رود [۲۱، ۲۲]. در این روش، با اعمال اختلال کوچک در ولتاژ اعمالی، پاسخ الکتریکی سامانه به صورت جریان و ولتاژ ثبت می‌شود و عموماً تحلیل نتایج با کمک یک مدار معادل شامل عناصری مانند خازن و مقاومت‌های سری و موادی انجام می‌شود. اختصاص یک

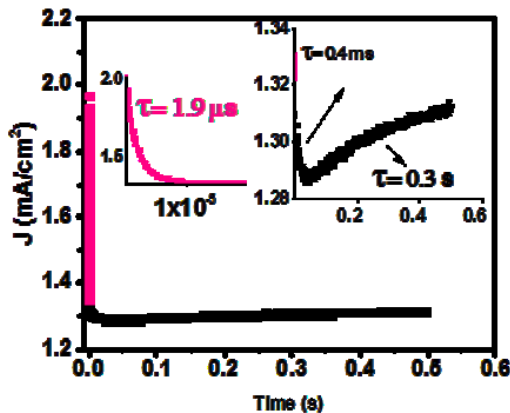
کریستالی اشاره کرد [۴]. با این حال عواملی مانند شرایط ساخت محلول و یا ترکیب پروسکایت مورد استفاده هم می‌تواند مهاجرت یونی را برای برخی از گونه‌های کنترل و یا تسهیل کند.

در ادامه، ما به بررسی سازکار و کار سه‌پدیده‌ی مهم و غیرمعمولی که در سلول‌های خورشیدی پروسکایتی ناشی از مهاجرت یونی اتفاق می‌افتد، می‌پردازیم.

۳- پدیده‌های غیرمعمول ناشی از مهاجرت یونی

۱- هیسترزیس در نمودار جریان ولتاژ
شکل ۱ نمودار جریان ولتاژ یک سلول خورشیدی پروسکایت را در دو جهت اسکن و ولتاژ نشان می‌دهد همانطور که مشاهده می‌شود، عملکرد سلول به هنگامی که از ولتاژ صفر شروع به افزایش ولتاژ می‌کنیم، مقاومت از عملکرد آن در مقایسه با زمانی است که از ولتاژ مدار باز سلول به سمت صفر اسکن می‌کنیم. به این پدیده رفتار هیسترزیسی گفته می‌شود. این پدیده پیشتر در سلول‌های خورشیدی سیلیکونی [۱۳] و در اسکن‌های سریع به دلیل اثرات خازنی و همچنین، در سلول‌های خورشیدی Cds/CdTe به دلیل مهاجرت یونی [۱۴] مشاهده شده است. در سلول‌های پروسکایتی نیز، مهاجرت یونی نخستین بار پس از مشاهده ی پدیده‌ی هیسترزیس در نمودار جریان ولتاژ این سلولها و به عنوان یکی از عوامل ممکن در بروز این پدیده، موردنظر توجه قرار گرفت [۱۵]. هر چند که در ابتدا عواملی دیگری نیز مانند اثرات فرو-الکتریسیته [۱۶] و تله‌های سطحی [۱۵] به عنوان منشا هیسترزیس معرفی شدند، با این حال هم اکنون نتایج مطالعات، مهاجرت یونی را به عنوان محتمل‌ترین عامل هیسترزیس نشان می‌دهند [۱۷، ۱۸]. Xiao و همکارانش با نشان دادن تغییر جهت جریان نوری در طی اسکن سلول‌های خورشیدی پروسکایتی در یک سلول ساختار مسطح با الکترودهای همسان، دلیل مهمی برای تایید نقش مهاجرت یونی در ایجاد پدیده‌ی هیسترزیس ارائه کردند. همچنین، Tress و همکارانش هیسترزیس وابسته به آهنگ اسکن را ناشی از فرایند تشکیل آرام یک میدان القایی برای حذف میدان الکتریکی موجود در سلول در ولتاژ باسیس اعمالی دانستند. به این معنی که باز فضایی ایجاد شده در الکترودها، ناشی از یونهای متحرک، میدان الکتریکی را در لایه‌ی پروسکایت پوشش

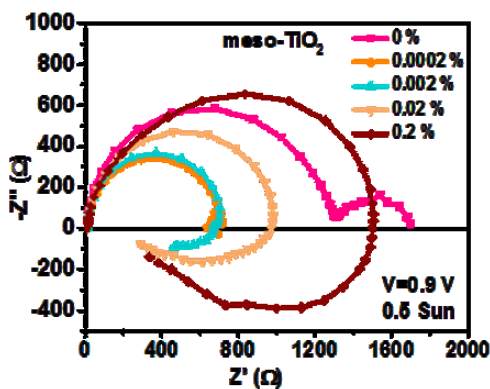
در سلول‌های خورشیدی پروسکایتی به صورت کنترل شده‌ای مورد بررسی قرار گرفت. همانطور که در شکل ۳ نشان داده شده است، بروز این پدیده با افزایش مقدار ناخالصی بیسوموت نمایان تر می‌شود. همچنین، در این مقاله نشان داده شده است که در ساختها و شرایط متفاوت میتوان این پدیده را مشاهده کرد. همچنین، مهاجرت یونی به عنوان مهمترین عامل در بروز این پدیده معرفی شده و ساز و کار آن مورد بررسی قرار گرفته است.



شکل ۴ پاسخ سلول با رفتار خازنی منفی در مقابل اعمال پله‌ی پتانسیل ۲۰ میلی ولتی در حالت تاریکی [۲۵].

شکل ۴ پاسخ سلول در مقابل اعمال یک پله‌ی پتانسیل ۲۰ میلی ولتی به سامانه را نشان می‌دهد. در این پاسخ، سه فرایند گذرا در مقیاس‌های زمانی متفاوت مشاهده می‌شود که تقریباً با یک تابع نمایی مورد انتظار برای عنصر RC متناسب هستند. به طوریکه اعمال پتانسیل اختلالی به شارژ خازن با جریان $e^{-t/RC}$ می‌شود. برای دو فرایند سریعتر این معادله با مقدار مثبت برای خازن برقرار است. که در آن فرایند سریعتر مستقل از ولتاژ و مربوط به RC سامانه است. فرایند دوم مربوط به نخستین نیم‌ایرله در پاسخ فرکانسی سامانه است. نکته‌ی جالب افزایش جریان در فرایند کنتر (سوم) به جای کاهش آن است و اگر از معادله بالا استفاده کنیم می‌بینیم که به صورت طبیعی ظرفیت خازن، علامت منفی به خود می‌گیرد. این پدیده فقط در سلول‌های مشاهده می‌شود که پدیده‌ی خازن منفی را نیز در خود نشان می‌دهند. همچنین، مقایسه‌ی ثابت زمانی این پدیده با ثابت زمانی به است آمده از داده‌های امپدانس برای فرکانس‌های مربوط به رفتار خازن منفی، تطابق خوب بین آنها را نشان می‌دهد. بنابراین، به راحتی می‌توان نتیجه گرفت که این

پدیده فیزیکی میکروسکوپیکی به هر یک از این عناصر الکتریکی، مهمترین و چالش برانگیزترین قسمت تحلیل داده‌ها به خصوص در سلول‌های خورشیدی پروسکایتی است. یکی از پدیده‌های مشاهده در سلول‌های خورشیدی پروسکایت پدیده‌ی ظرفیت خازنی منفی در نمودار امپدانس این سلول‌ها است (شکل ۳).



شکل ۳. نمودار نایکویست برای سلول‌های خورشیدی پروسکایتی با درصدهای متفاوت ناخالصی. با افزایش ناخالصی رفتار خازن منفی به صورت آشکاری افزایش می‌باید [۲۵].

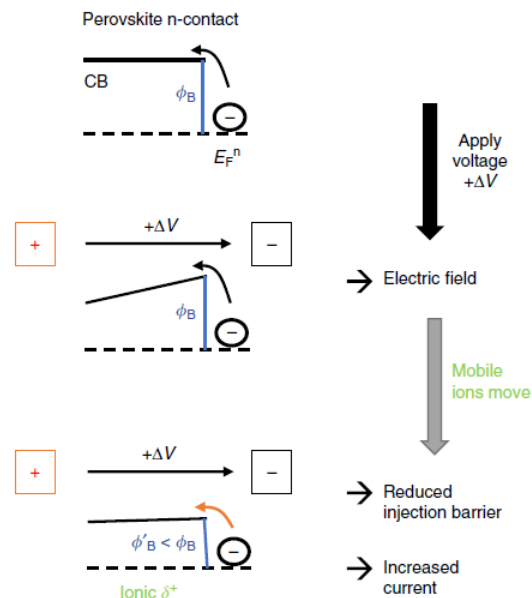
این رفتار را در مدار معادل می‌توان با حضور یک القاگر نشان داد. بنابراین دلیل که از نظر معادلاتی یک القاگر، معادل معکوس و منفی خازن است، این پاسخ القایی سامانه را "خازن منفی" نام گذاری کرده‌اند. مطابق تعریف خازن، $C=dQ/dV$ ، خازن منفی متناظر با کاهش بار با افزایش ولتاژ است. این شرایط زمانی ممکن است که افزایش ولتاژ منجر به کاهش جمعیت حالت‌های سطحی شود. رفتار خازن منفی در دیودها و در شرایط بایاس مستقیم یک پدیده‌ی معمول است که منجر به مدولاسیون رسانندگی می‌شود [۲۶]. در سلول‌های خورشیدی پروسکایتی نیز بروز این رفتار خازن منفی در فرکانس‌های پایین زیاد گزارش شده است [۲۷-۳۱]. نکته‌ی قابل توجه در مورد بیشتر کارها این است که معمولاً در یک سری از سلول‌ها با شرایط ساخت یکسان، فقط برخی از آنها این ظرفیت خازن منفی را نشان داده‌اند و این مسئله، توصیف و منشایابی این پدیده را مشکل می‌کند. همچنین، در برخی از مقالات بروز این پدیده را به ساختارهای خاصی نسبت داده‌اند. در مقاله‌ی اخیری که ما در سال ۲۰۱۹ به چاپ رساندیم [۲۵]، با افزودن ناخالصی بیسوموت به محلول پروسکایت و تغییر مقدار ناخالصی، پدیده‌ی رفتار خازن منفی

۳-۳- تفکیک فازی

یکی از ویژگی‌های جذاب سلول‌های خورشیدی پروسکایت هالید عالی-معدنی، قابلیت تنظیم باند گاف آنها با تغییر نسبت هالیدهای آن است [۳۲]. افزایش مقدار برم به ید در ترکیب، شکاف انرژی آن را افزایش داده و استفاده از آنها را نامزد مناسبی برای استفاده در سلول‌های خورشیدی چندپیوندی می‌کند. با این حال نخستین پیامد ناخواسته‌ای که با افزایش مقدار برم در ساختار مشاهده می‌شود، پدیده‌ی جدایش فازی است [۳۲-۳۴]. به این معنی که با قرار گرفتن فیلم یا سلول در معرض نور، پروسکایت به دو فاز با ترکیب یک کم و زیاد تفکیک می‌شود. اگر از فیلم پروسکایتی که تحت نور قرار داده شده است، به طور پی در پی طیف فوتولومینیسانس گرفته شود، مشاهده می‌شود که با گذشت زمان محل پیک تغییر می‌کند و یا حتی در مواردی دوپیک فوتولومینیسانس همزمان قابل مشاهده است. شکل ۶ مربوط به یک فیلم پروسکایت است که نسبت برم به ید در آن ۰/۳۵ به ۰/۶۵ است که به مدت ۱۵ دقیقه تحت نور یک سان بوده است. طول موج نشر این ترکیب ۷۱۰ نانومتر است که همانطور که می‌بینیم پس از قرار گرفتن تحت نور و تفکیک فازی، طیف حاصل جمع دو پیک یکی در ۷۱۰ نانومتر و دیگری در ۷۷۷ نانومتر است. همانطور که مشاهده می‌شود، حضور دو پیک در آن تصدیقی برای پدیده‌ی تفکیک فازی است. همچنین، حضور این پدیده را می‌توان در تغییر در جذب و همچنین تغییر در پیک XRD مشاهده کرد [۳۴]. پس از اینکه حضور این پدیده در سلول‌های خورشیدی پروسکایت مشاهده شد، بررسی‌های زیادی برای فهم سازوکار و عوامل موثر و همچنین، کاربردهای احتمالی آن انجام شده است.

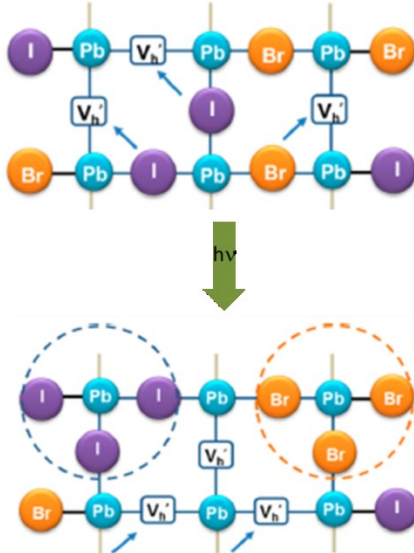
رفتار نه رفتار خازنی ناشی از تجمع بار بلکه یک فرایند گذرا ناشی از افزایش با تاخیر بار، پس از اعمال ولتاژ است. این پدیده ناشی از اصلاح پتانسیل در سطوح مشترک در حضور یون‌ها است. شکل ۵ نحوه‌ی دخالت یونها در ایجاد این پدیده را روشن‌تر می‌کند. در ابتدا، تغییر در ولتاژ باعث یک میدان بازارایی می‌کند که این بازارایی و تجمع یونها هم می‌تواند میدان الکتریکی و هم سد در مقابل تزریق بار را تغییر دهد. همانطور که در شکل آمده است، این بازارایی در نهایت منجر به کاهش سد تزریق شده و تزریق بار را راحت‌تر می‌کند و ما می‌توانیم یک افزایش جریان را در مقیاس زمانی ثانیه مشاهده کنیم. با توجه به اینکه مقیاس زمانی که این پدیده در آن اتفاق می‌افتد بستگی به تندی یا کندی مهاجرت یونها در میدان الکتریکی دارد. بنابراین، ثابت زمانی به دست آمده در اندازه‌گیری امپدانس مربوط به یونها است.

این پدیده گرچه یک پدیده‌ی نامطلوب در سلول‌های خورشیدی پروسکایت محسوب می‌شود. با این حال این فرایندهای میکروسکوپی بسیار کند می‌توانند باعث ایجاد نوعی از اثر حافظه شوند که در ساخت افزارهای مریستور مورد نیاز هستند.



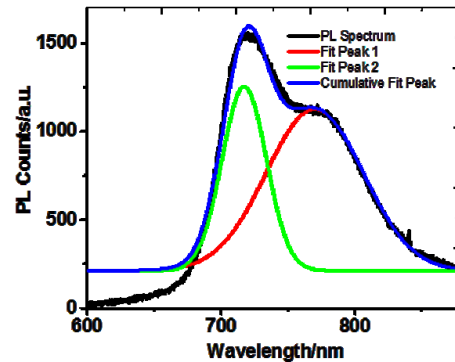
شکل ۵ طرحواره‌ی نحوه‌ی اثر یونها در افزایش تزریق حامل‌های بار. در اینجا سمت اتصال n نشان داده شده است و برای اتصال p می‌توان توضیح مشابه‌ای ارائه داد. بازارایی مجدد یونها با افزایش ولتاژ ΔV ، سد تزریق ϕ_B را تغییر می‌دهد. بار خالص مثبت یونی منجر به ایجاد دوقطبی سطحی می‌شود که باعث کاهش ϕ_B می‌شود. این اثر جریان را تقویت می‌کند، که به عنوان یک ظرفیت منفی بروز می‌کند.

نامطلوب محسوب می‌شود، با این حال حساس بودن طیف لومنیسانس آنها به نور، کاربردهای جدیدی برای مواد پروسکایتی فراهم می‌کند و می‌تواند به منظور ساخت حسگر، سوئیچ و افزارهای حافظه مورد استفاده قرار گیرد.



شکل ۷ نمایش جاهای خالی هالیدها در صفحه I-Pb فیلم پروسکایت و نحوه اثر آنها در مهاجرت یونهای هالید که در نهایت منجر به تشکیل خوشهای برم-غنى و ید-غنى می‌شود [۳۶].

۴. نتیجه گیری
با توجه به اینکه هم اکنون اصلی ترین مسئله سلول‌های خورشیدی پروسکایت مسئله‌ی عدم پایداری ذاتی آنهاست و پدیده‌ی مهاجرت یونی نقش اساسی در ناپایداری آنها ایفا می‌کند، در این مقاله‌ی مروری ما به بررسی اجمالی در مورد پدیده‌های هیستریزیس، رفتار خازن منفی و تقییک فازی در سلولهای خورشیدی پروسکایتی و همچنین نحوه دخالت مهاجرت یونی در ایجاد آنها پرداختیم. سازوکار عمل یون‌ها و همچنین نوع یون‌های دخیل در بروز هرکدام از این رفتارها را مطابق نتایج تحقیقات معتبر و به طور خلاصه جمع بندی کردیم. همچنین حوزه‌های احتمالی برای به کارگیری این ویژگی مواد پروسکایتی به منظور ساخت افزارهایی با کاربردهای جدید آورده شد.



شکل ۶ طیف فوتولومینیسانس فیلم پروسکایت دوکاتیونه با فرمول شیمیایی $Cs_{0.1}Fa_{0.9}Pb(I_{0.65}Br_{0.35})_3$ پس از قرارگیری ۱۵ دقیقه تحت نور می باشد که با برآذش نمودار آن می‌توان حضور دو پیک را مشاهده کرد.

با توجه به اینکه تقییک فازی زمانی می‌تواند اتفاق بیافتد که برخی گونه‌های یونی بتوانند از محل اولیه‌ی خود مهاجرت کرده و با تجمع در قسمت‌هایی منجر به تشکیل دو فاز متفاوت از فاز اولیه‌ی همگن شوند. بنابراین، بررسی مهاجرت یونی در فهم بهتر سازوکار تقییک فازی در آنها ضروری است. نکته‌ی قابل توجه اینجاست که هرچند که منشا هیستریزیس به مهاجرت هر دو نوع یون‌ها یعنی کاتیون‌ها و آنیون‌ها و تجمع آنها در سطوح مشترک نسبت داده می‌شود، مطالعات نشان می‌دهد که در پدیده‌ی تقییک فازی مهاجرت هالیدها نقش اصلی را ایفا می‌کنند. مهاجرت یونی در پروسکایت به دلیل نقص‌هایی مانند جاهای خالی یون‌ها، نقص بین نشینی و نقص نابجایی‌ها است. در حضور نقص‌ها، ازون بر اینکه انرژی فعالسازی کمتر آنیون‌های هالیدی نسبت به کاتیون‌ها [۳۵]، احتمال مهاجرت آنها را بیشتر می‌کند. ساز و کاری که در اینجا منجر به تجمع خوشهای برم-غنى و ید-غنى می‌شود، می‌تواند مربوط به تقاؤت در ثابت کمپلکس Pb^{2+}/Br^- باشد. به طوری که هنگامی که یون‌های هالید اضافی (به نسبت مولی یکسان از Br^- و I^-) در ساختار موجود هستند، علاقه‌به تشکیل کمپلکس Pb^{2+}/Br^- به مقدار هفت برابر بیش از I^-/Pb^{2+} است [۳۶].

شکل ۷ مسیرهای مورد علاقه‌ی مهاجرت هالیدها در حضور نقص‌های شبکه را نشان می‌دهد که چگونه منجر به تشکیل دو فاز مجزای برم-غنى و ید-غنى می‌شود.

هرچند پدیده‌ی تقییک فازی برای عملکرد سلول‌های خورشیدی، یک رفتار ناخواسته و

(2017).

- [18] V.W. Bergmann *et al.*, *ACS Appl. Mater. Interfaces*, 8, 19402–19409, (2016).
- [19] W. Tress *et al.*, *Energy Environ. Sci.*, 8, 995–1004, (2015).
- [20] F. Ebadi, M. Aryanpour, R. Mohammadpour, and N. Taghavinia, *Sci. Rep.*, 9, 11962-11968, (2019).
- [21] A. Guerrero *et al.*, *J. Phys. Chem. C*, 120, 8023–8032, (2016).
- [22] K. Miyano, N. Tripathi, M. Yanagida, and Y. Shirai, *Acc. Chem. Res.*, 49, 303–310, (2016).
- [23] J. Bisquert, G. Garcia-Belmonte, I. Mora-Sero, J. Bisquert, G. Garcia-Belmonte, and I. Mora-Sero, *Solar Cells*, 16, 478-485, (2016).
- [24] Z. Li, C.C. Mercado, M. Yang, E. Palay, and K. Zhu, *Chem. Commun.*, 16, 68-76, (2017).
- [25] F. Ebadi, N. Taghavinia, R. Mohammadpour, A. Hagfeldt, and W. Tress, *Nat. Commun.* 10, 1574-1579, (2019).
- [26] I. Mora-Seró *et al.*, *Nano Lett.*, 6, 640–650,(2006).
- [27] A. Kovalenko, J. Pospisil, O. Zmeskal, J. Krajcovic, and M. Weiter, *Phys. status solidi - Rapid Res. Lett.*, 11, 1600418-1600425, (2017).
- [28] A. Guerrero *et al.*, *J. Phys. Chem. C*, 120, 8023–8032, (2016).
- [29] Z. Tang and T. Minemoto, *J. Phys. Chem. C*, 28, 59-68, (2015).
- [30] Y. Feng *et al.*, *Mater. Res. Bull.*, Jul. 52, 118-127, (2018).
- [31] F. Fabregat-Santiago *et al.*, *Sci. Rep.*, 2,112-123, (2017).
- [32] W. Rehman *et al.*, *Energy Environ. Sci.*, 10, 361–369, (2016).
- [33] F. Brivio, C. Caetano, and A. Walsh, *J. Phys. Chem. Lett.*, 7, 1083–1087, (2016).

۵. منابع

- [1] “efficiency_chart.” [Online]. Available:
http://www.nrel.gov/ncpv/images/efficiency_chart.jpg.
- [2] N. G. Park, *Mater. Today*, 18, pp. 65–72, (2015).
- [3] G. Niu, X. Guo, and L. Wang, *J. Mater. Chem. A*, 2, 114-120, (2015).
- [4] Y. Yuan and J. Huang, “Ion Acc. Chem. Res., 49, 286–293, (2016).
- [5] M. H. Futscher, J. M. Lee, T. Wang, A. Fakharuddin, L. Schmidt-Mende, and B. Ehrler, *J. Phys. Chem. Lett.*, 21, 112-118,(2018).
- [6] B. Chen *et al.*, *J. Phys. Chem. Lett.*, 6, 4693–4700, (2015).
- [7] Y. Zhao *et al.*, American Chemical Society, 43, 116-201, (2016).
- [8] P. Calado *et al.*, *Nat. Commun.*, 7, 13831-13839,(2016).
- [9] E. L. Unger *et al.*, *Energy Environ. Sci.*, 7, pp. 3690–3698, (2014).
- [10] S. van Reenen, M. Kemerink, and H. J. Snaith, *J. Phys. Chem. Lett.*, 6, 3808–3814, (2015).
- [11] B. Rivkin, P. Fassl, Q. Sun, A.D. Taylor, Z. Chen, and Y. Vaynzof, *ACS Omega*, 3, 10042–10047, (2018).
- [12] Z. Ahmad *et al.*, *Sci. Rep.*, 7, 15406-15416,(2017).
- [13] M. Herman, M. Jankovec, and M. Topič, *Int. J. Photoenergy*, 52, 27-38,(2012).
- [14] D. Albin and J. del Cueto, *Publ., J. Phys. Chem. C*, 21, 54-67, (2011).
- [15] H.J. Snaith *et al.*, *Mater. Interfaces*, 3, 112-118,(2014).
- [16] M. Coll *et al.*, *J. Phys. Chem. Lett.*, 6, 1408–1413, (2015).
- [17] W. Tress, *Journal of Physical Chemistry Letters*, 8, 3106–3114,



- [34] M.C. Brennan, S. Draguta, P.V Kamat, and M. Kuno, *Energy Lett.*, 3, 204–213, (2018).
- [35] S. J. Yoon *et al.*, *Energy Lett.*, 1, 290–296, (2016).
- [36] S. Joon Yoon, M. Kuno, and P.V Kamat, *Energy Environ. Sci.*, 42, 118-126, (2017).